

フジタ工業（株）技術研究所 正員 ○渡辺直樹・伊藤祐二・青景平昌  
同上 正員 細川芳夫・小谷勝昭・鎌田正孝

### 1. はじめに

温度履歴を受けたコンクリートの圧縮強度、割裂引張強度、曲げ強度などを実験し、これらの結果より、積算温度と、強度の関係、圧縮、割裂引張、曲げ強度相互の関係について研究し、圧縮強度を指標として、静弾性係数、割裂引張強度、曲げ強度の関係を既往の研究と比較する。また、曲げ強度／割裂引張強度と弾性係数より、引張限界ひずみについて検討する。

### 2. 積算温度と圧縮強度との関係及び各強度の相互関係について

#### 2. 1 積算温度と圧縮強度の関係

積算温度 ( $^{\circ}\text{D} \cdot \text{D}$ ) と圧縮強度比 ( $840^{\circ}\text{D} \cdot \text{D}$  の強度を 1 とした場合の各積算温度に於ける強度比) の関係を図 1 に示す。両者の間にはほぼ直線関係が認められるが、配合などによっては、あるていどのバラツキのあることを示している。

近似式は  $\sigma / \sigma_{840} = 0.60 \log(^{\circ}\text{D} \cdot \text{D}) - 0.75$  であらわすことができる。同様に他の強度も積算温度とほぼ直線関係が認められる。

#### 2. 2 圧縮強度と弾性係数の関係

両者間の関係を  $E_c = C \cdot \rho^{1.5} \sqrt{\sigma_c}$  ( $C$  : 定数、 $\rho$  : 比重) と仮定し、近似式を求めるとき、今回の場合  $E_c = 4560 \cdot \rho^{1.5} \sqrt{\sigma_c}$  となり、従来の実験式と同様な結果となった。

#### 2. 3 圧縮強度と引張強度の関係

$\sigma_t = A \sigma_c^B$  の形の実験式が多いが、 $\sigma_c$  が  $150 - 350 \text{ kg/cm}^2$  の範囲では、 $\sigma_t = 1 / (A + B / \sigma_c)$  の形の式で近似した場合良い一致をみた。

#### 2. 4 引張強度と曲げ強度の関係

種々の実験式があるが、 $\sigma_b = A \sigma_t + B$  と仮定し近似式を求めるとき今回の場合、 $\sigma_b = 0.93 \sigma_t + 17.7$  となり、セメント協会式と近い値となった。この式は変形すると  $\sigma_b / \sigma_t = A + B / \sigma_t$  となり、引張強度が大きくなると  $\sigma_b / \sigma_t$  は小さくなることを示している。

### 3. 引張限界ひずみについて

塑性範囲を含めた応力-ひずみ曲線は、コンクリートの強度をはじめ多くの要因によって異なるが、図 5 に示した模式図が利用される場合が多い。応力-ひずみ関係を図 5 のように完全弾塑性と仮定し、引張限界

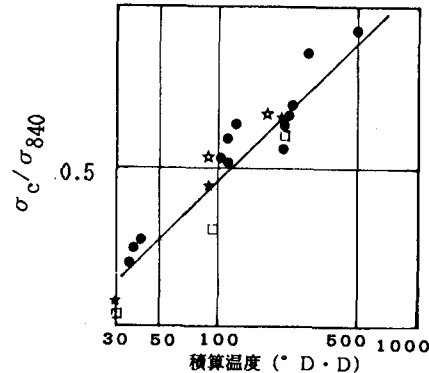


図 1 積算温度と圧縮強度比の関係

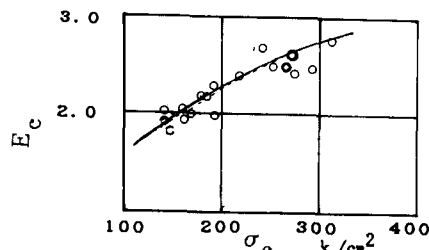


図 2 圧縮強度と弾性係数の関係

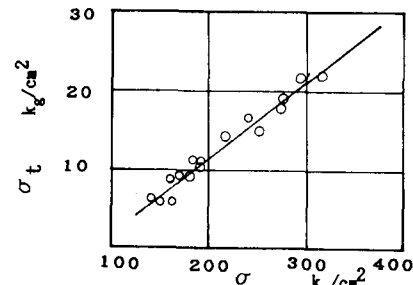


図 3 圧縮強度と引張強度の関係

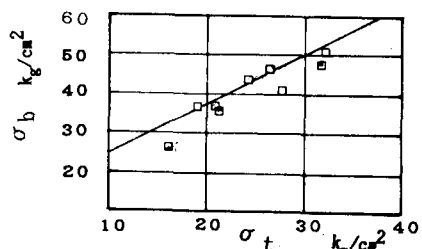


図 4 引張強度と曲げ強度の関係

ひずみ  $\epsilon_t$  と弾性限界ひずみ  $\epsilon_e$  の比を  $\mu$  とすると、以下の関係になることが知られている。

$$\sigma_b/\sigma_t = 2k^3/a(\lambda-k) + 2(\lambda-k)^2 + 3(1-\lambda)(1+\lambda-2k)$$

ここに  $a : E_t/E_c$   $k : \text{中立軸比}$ ,  $\lambda : \text{弾性領域比}$ である。 $a=1$ とした場合、 $\sigma_b/\sigma_t$  と  $\mu$  の関係は図6で示され、 $\sigma_b/\sigma_t$  が大きくなるにつれて  $\mu$  が3次曲線的に大きくなる。普通コンクリートの場合、 $\sigma_b/\sigma_t$  は  $1.5 - 2.0$  の範囲になる場合が多く、 $\mu$  は  $1.9 - 5.0$  の範囲となる。

次に前述の各強度の関係式を用いて  $\sigma_c$  と  $\sigma_b/\sigma_t$  比、 $\sigma_c$  と  $\mu$  の関係、 $\sigma_c$  と  $\epsilon_t$  の関係を計算したのが図7, 8, 9の曲線である。ただし曲線を求めるに際しての関係式としては、以下の3式を用いた。

$$E_c = 4500 \times \rho^{1.5} \times \sqrt{\sigma_c} \quad *1$$

$$\sigma_t = 1 / (0.005 + 8/\sigma_c) \quad *2$$

$$\sigma_b = 1.26\sigma_t + 11.9 \quad *3$$

図中のプロットは、個々の強度試験データより、 $\sigma_b/\sigma_t$ ,  $\mu$ ,  $\epsilon_t$  を計算しプロットしたものである。 $\epsilon_t$  は  $\sigma_c$  が  $150 - 350 \text{ kg/cm}^2$  の範囲で  $200 - 400 \times 10^{-6}$  の範囲にあることを示している。この値は一般に言われている  $\epsilon_t$  よりもかなり大きな値となっている。また、 $\epsilon_t$  は、低強度のほうが大きく、高強度になるに従い、比較的ゆるやかに減少する傾向にあることを示している。

引張限界ひずみを直接的に測定することはかなり困難であるため、曲げ強度、割裂引張強度などより、引張限界ひずみを試算した。今回求めた引張限界ひずみは、完全弾塑性モデルを用いて、既往の各強度の実験式にあてはめて試算したものであるため、理論的にはかなり不合理な面も多いが興味ある傾向が得られた。

#### 参考文献：

\*1 コンクリートハンドブック (岡田、六車)

\*2 マスコンクリート物性の基礎的特性について (竹下：マスコンクリートの温度応力発生メカニズムに関するコロキウム)

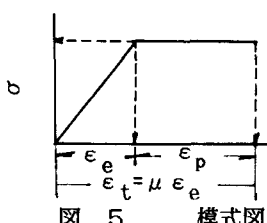


図 5 模式図

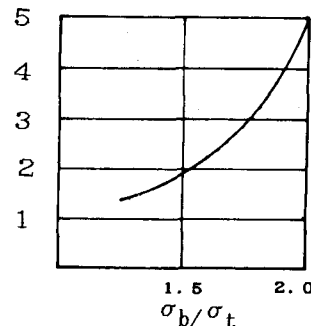


図6  $\sigma_b/\sigma_t$  と  $\mu$  の関係

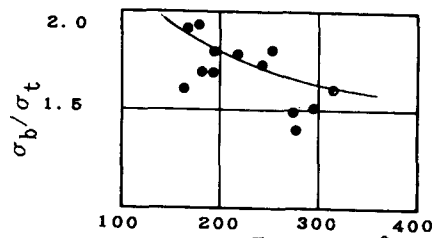


図7  $\sigma_c$  と  $\sigma_b/\sigma_t$  の関係

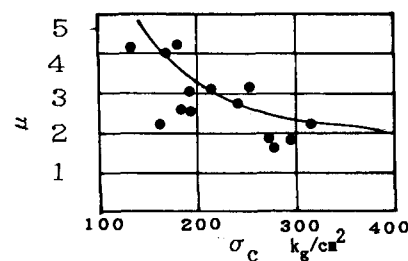


図8  $\sigma_c$  と  $\mu$  の関係

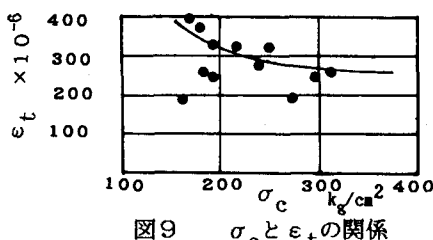


図9  $\sigma_c$  と  $\epsilon_t$  の関係